

201250 \* 0609700 T

1 / 12  
David C.Long, et al  
I.D.B. FIS920010163US1

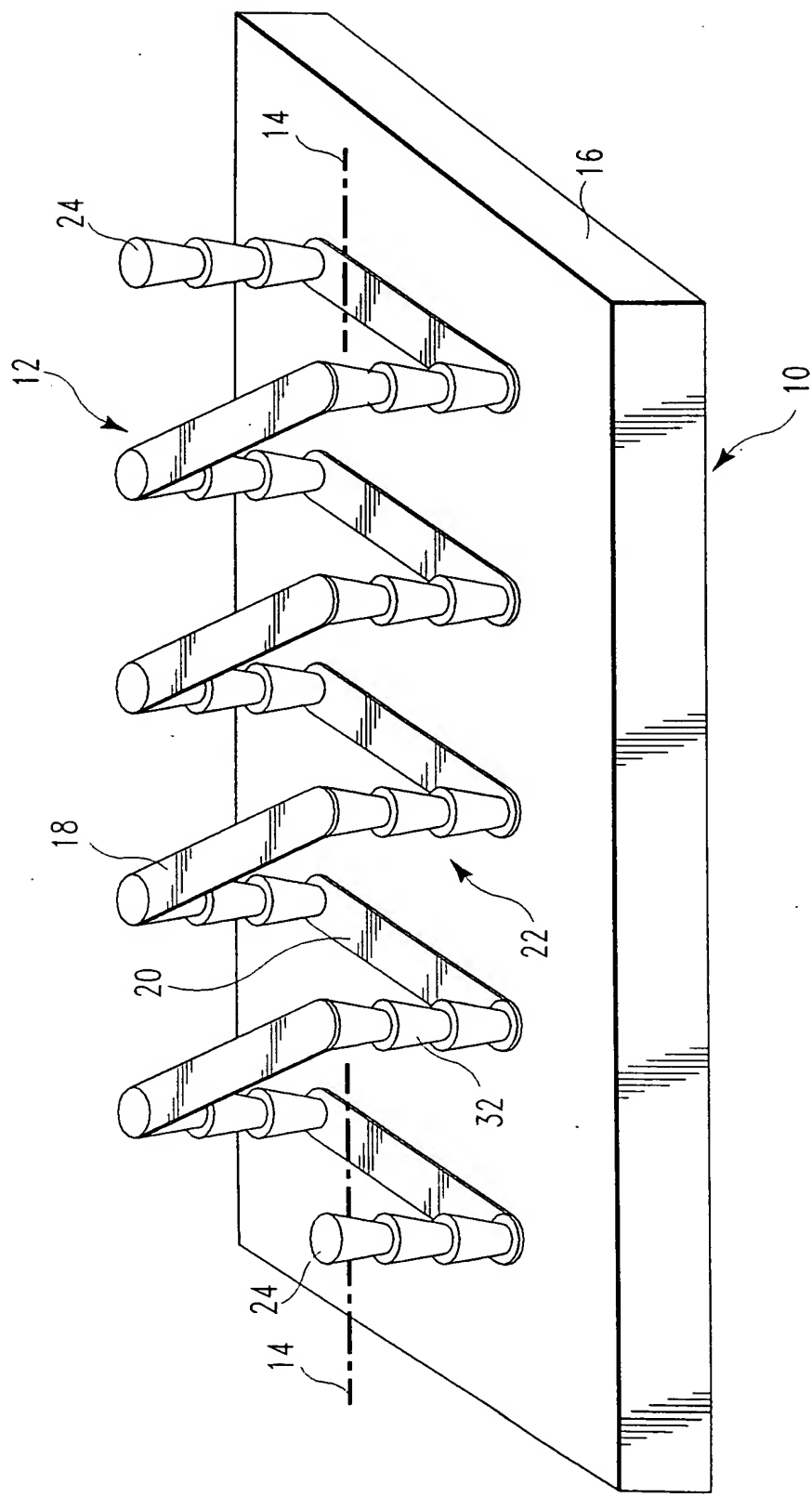


FIG. 1

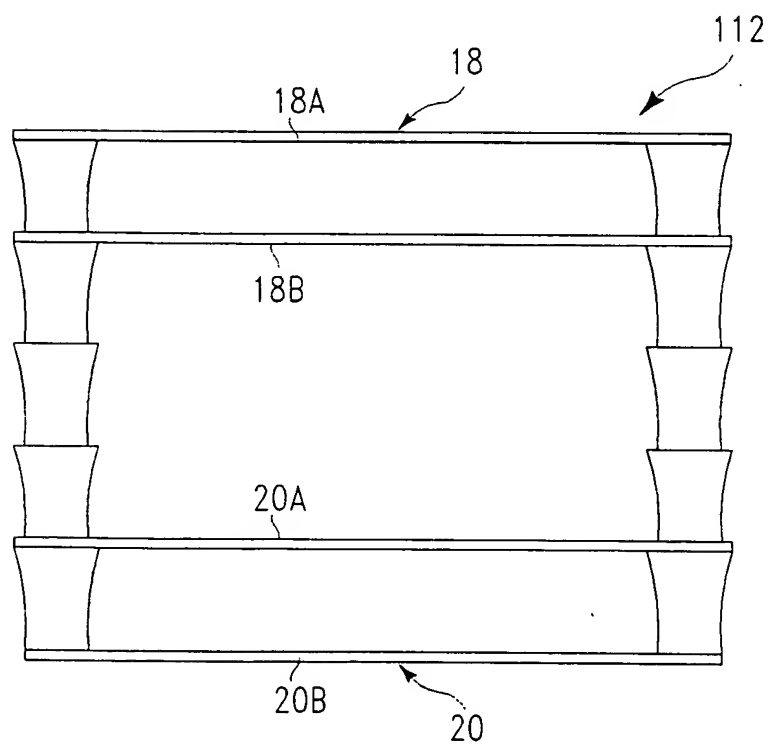
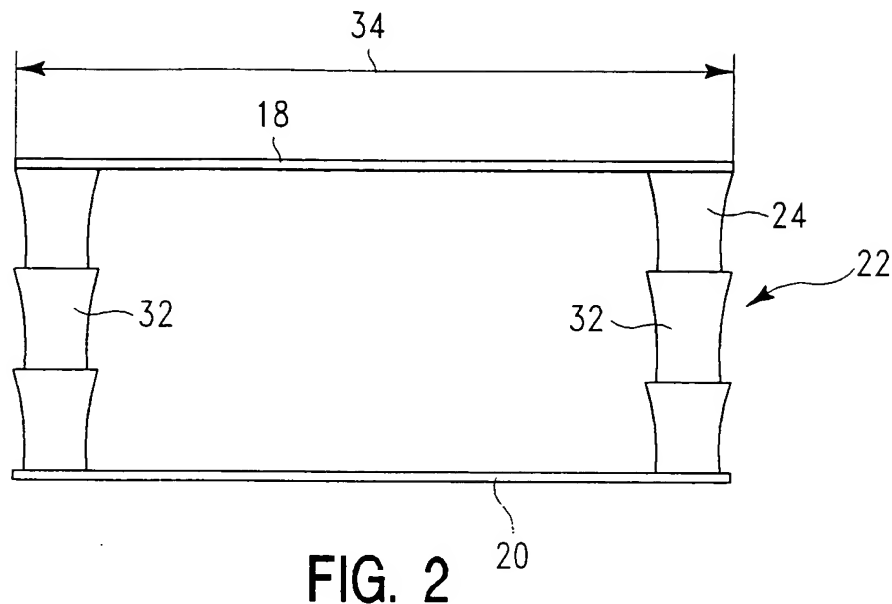


FIG. 4

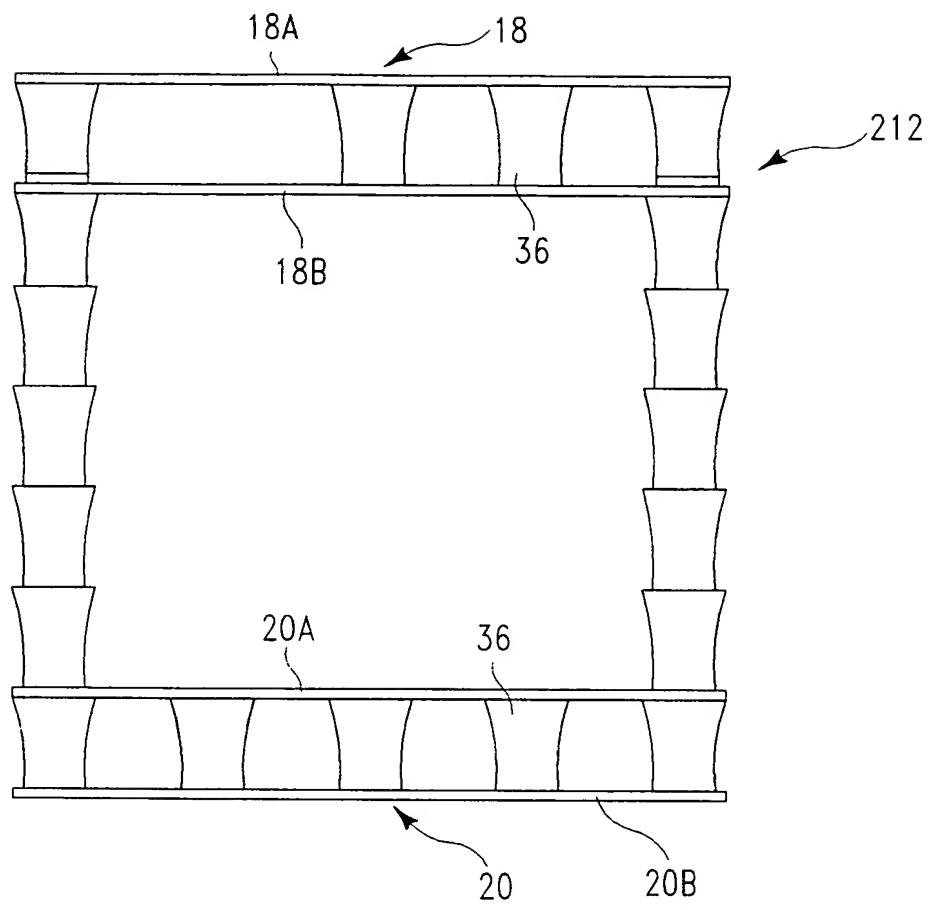
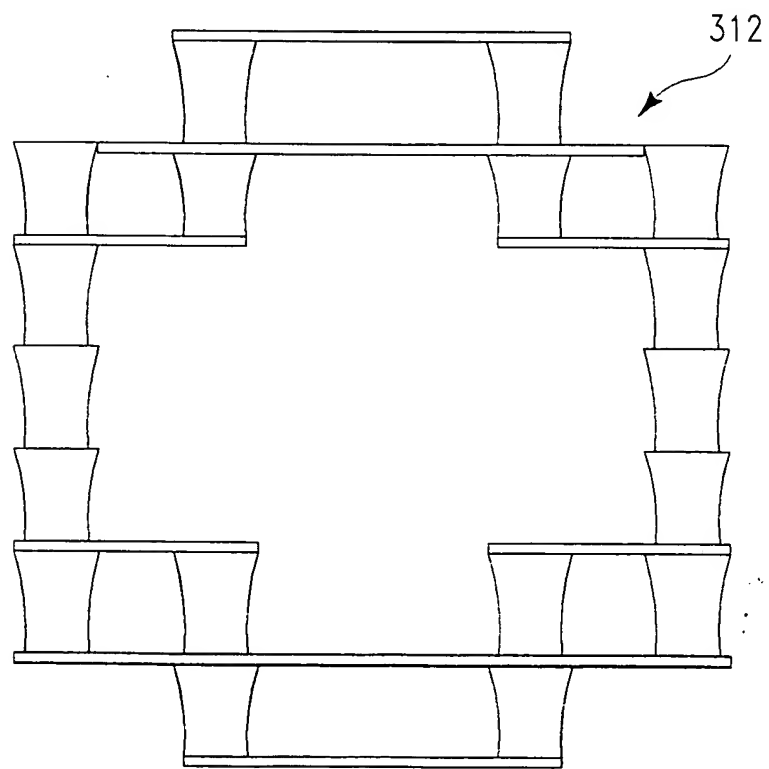


FIG. 5



20150605T0001

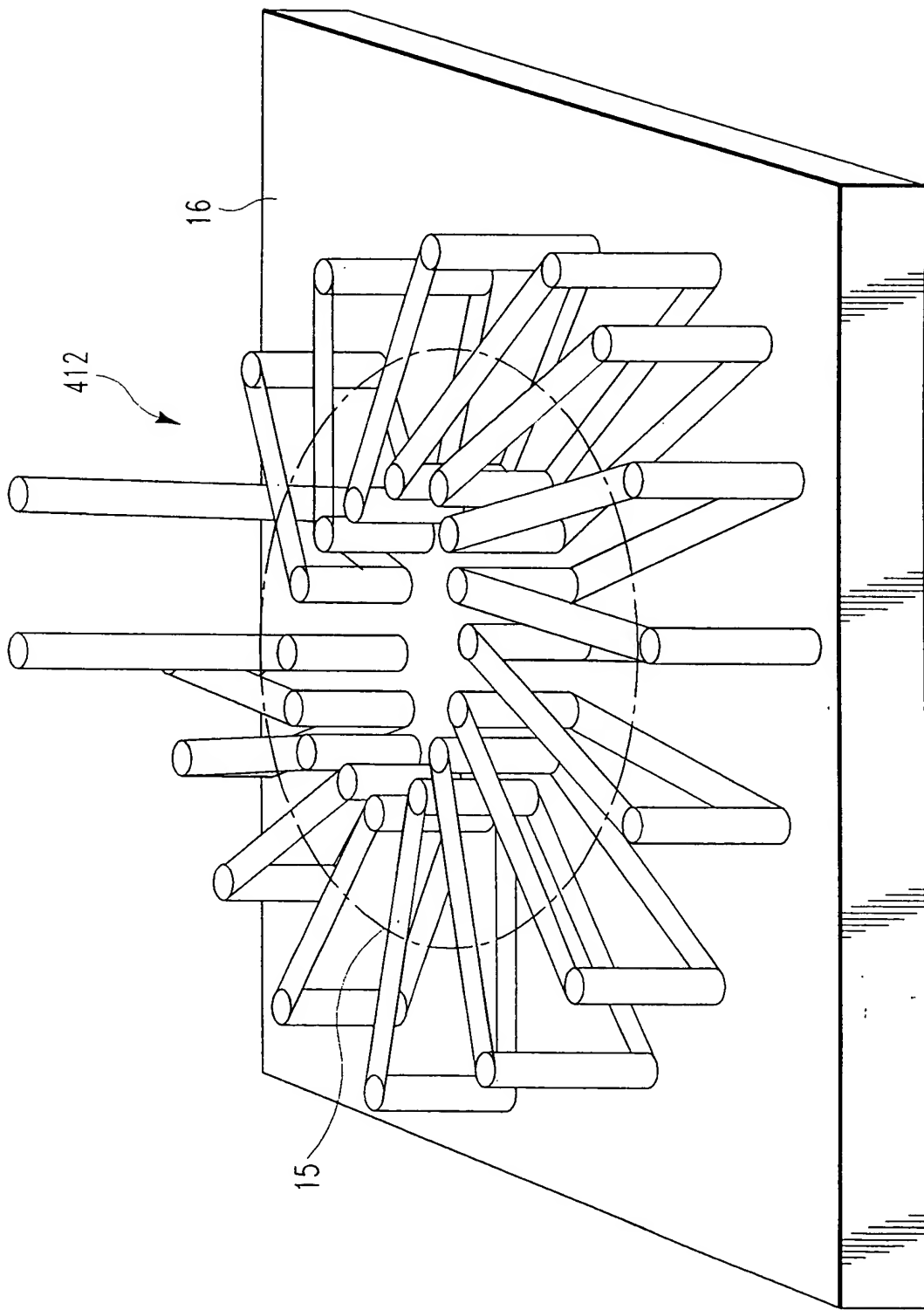


FIG. 6

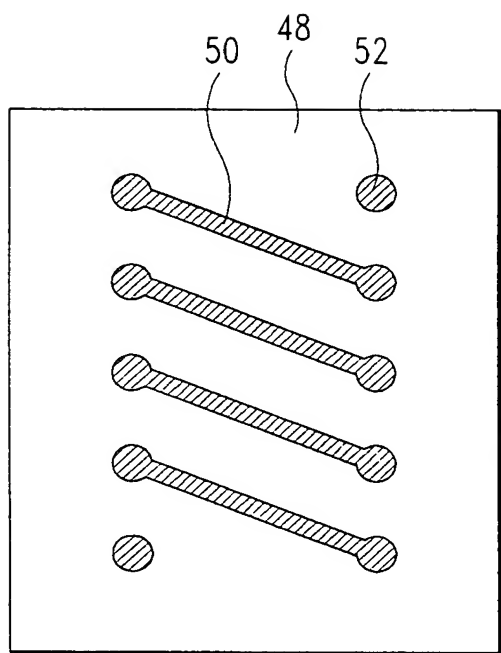


FIG. 7A

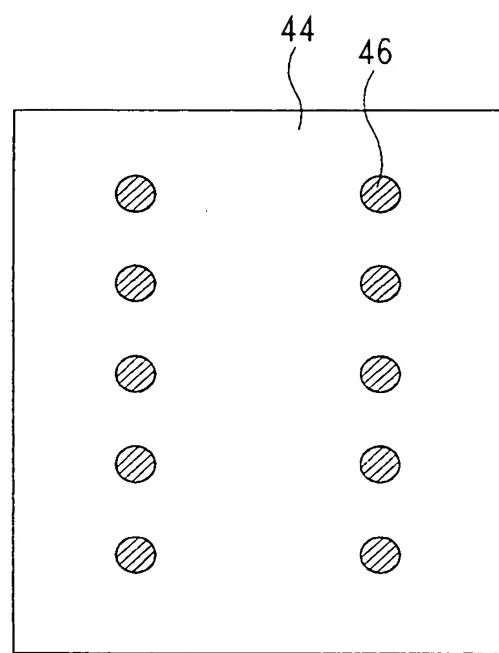


FIG. 7B

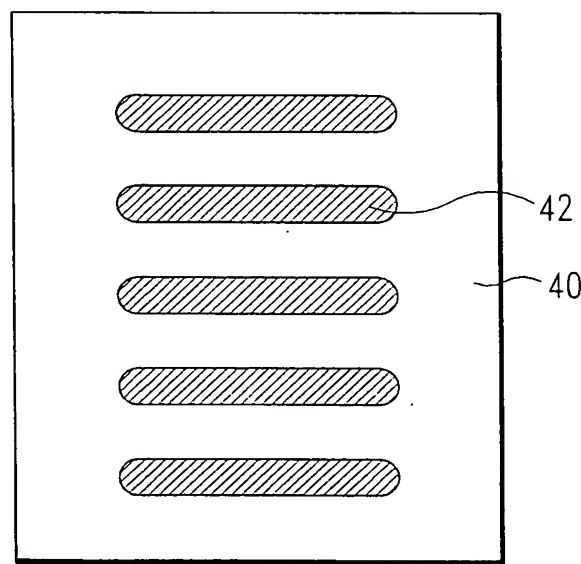


FIG. 7C

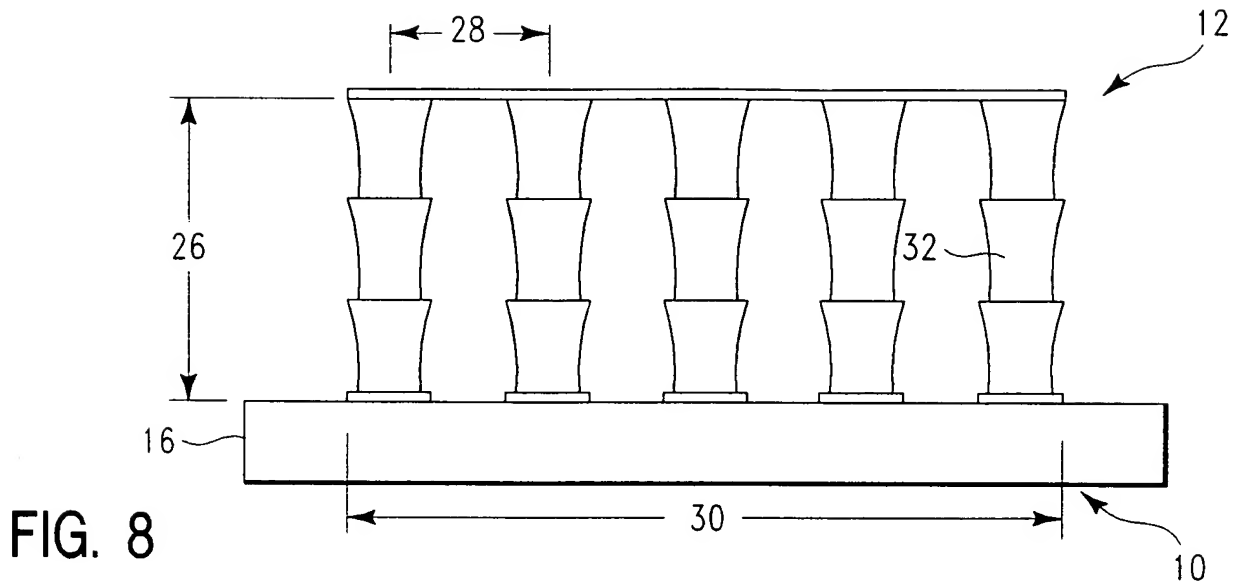


FIG. 8

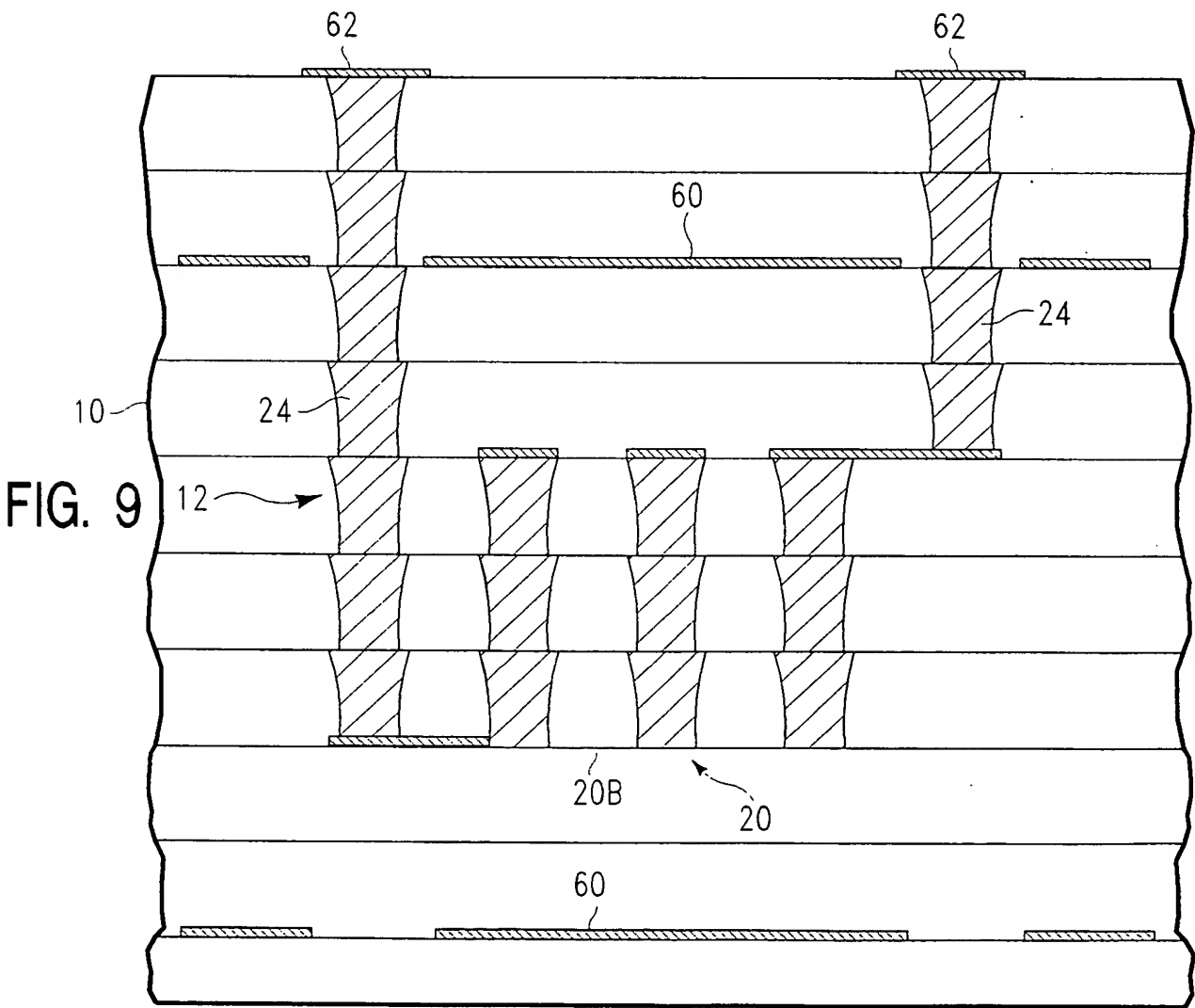


FIG. 9

10015000-052102

10010000-052402

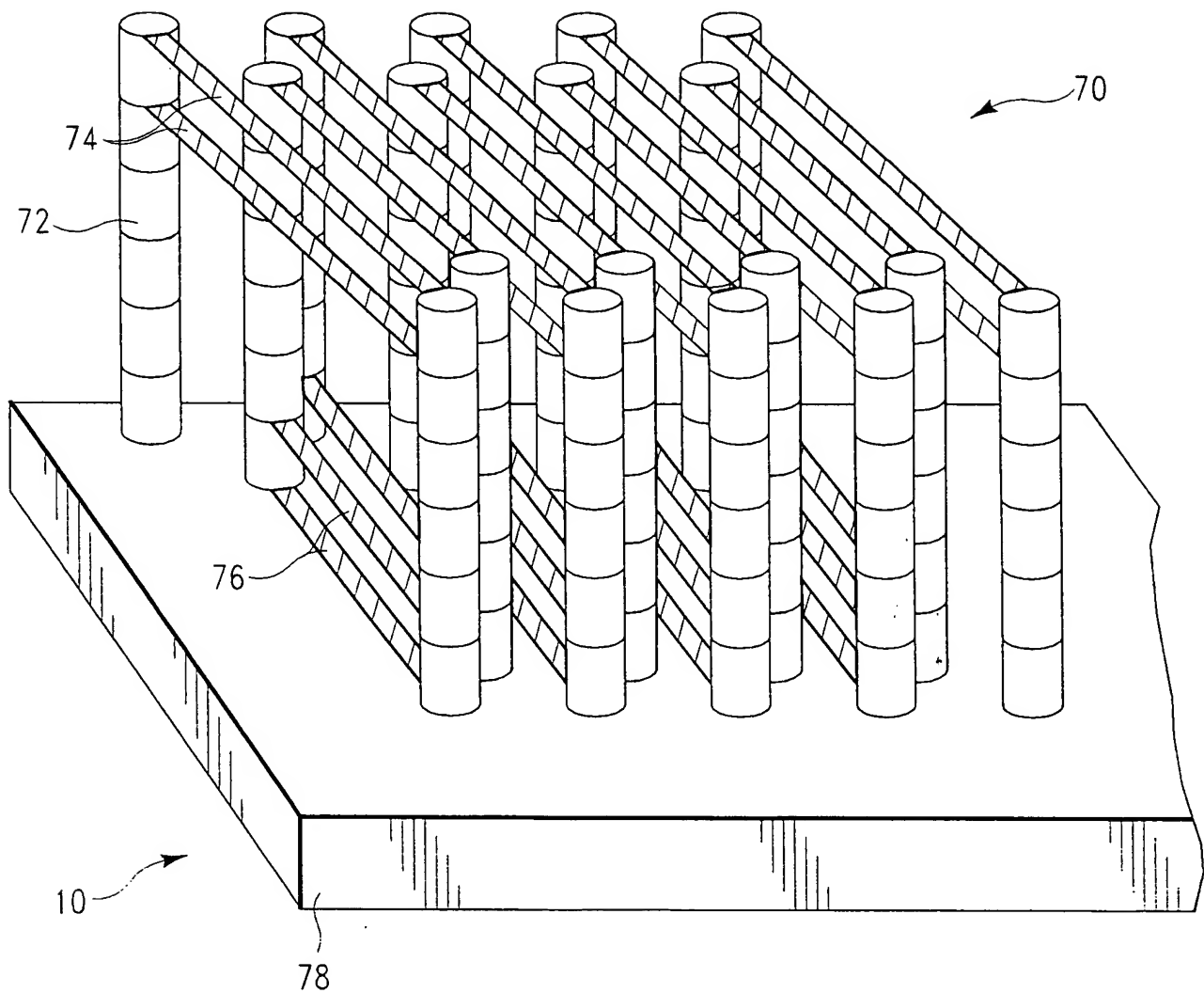


FIG. 10

3.00 3.60 90 = 0.50 3.00

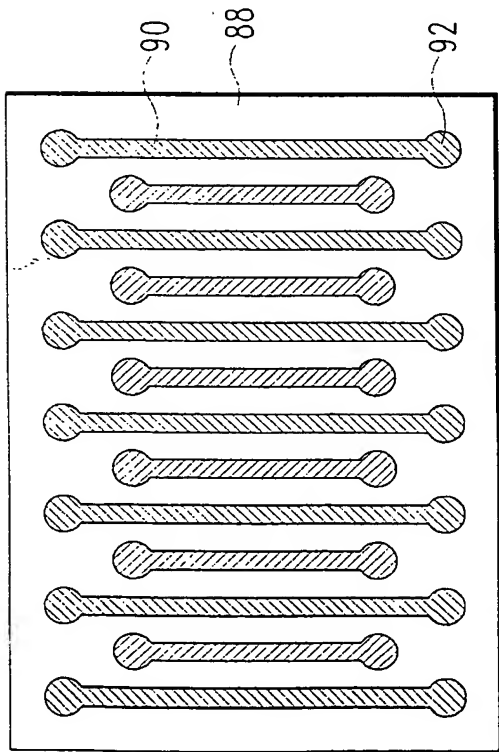


FIG. 11A

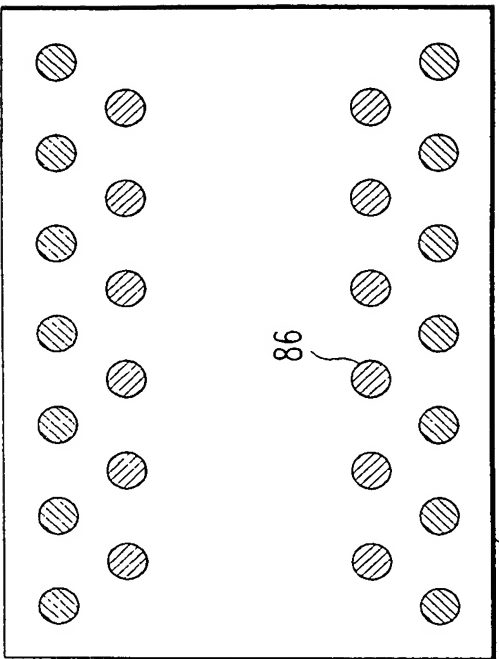


FIG. 11B

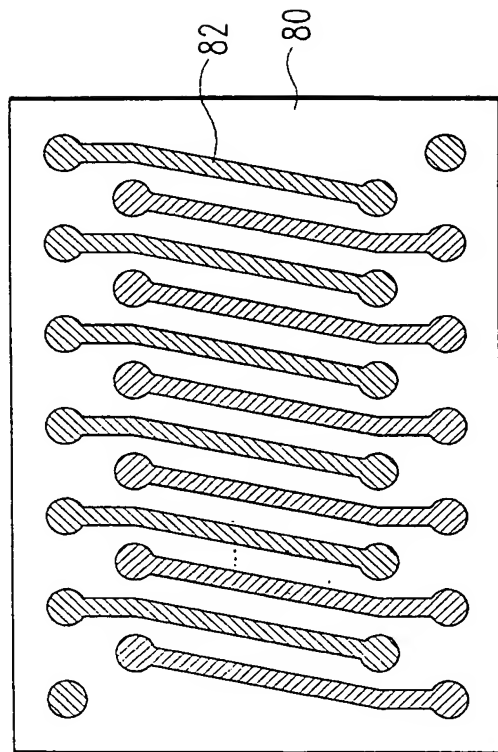
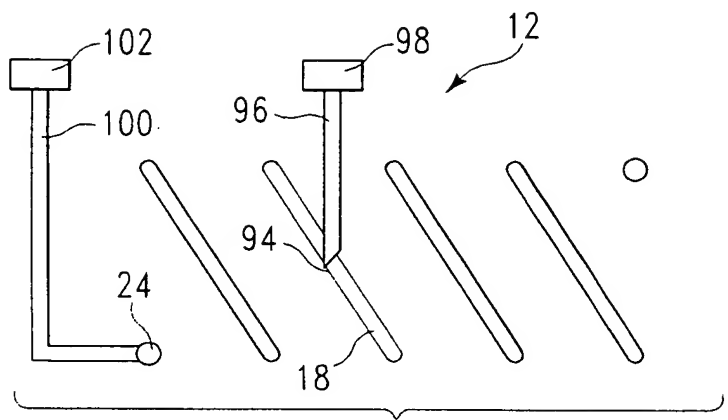


FIG. 11C



**FIG. 12A**

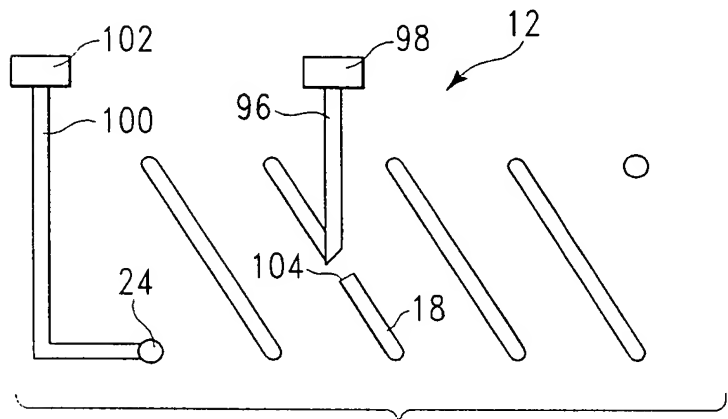


FIG. 12B

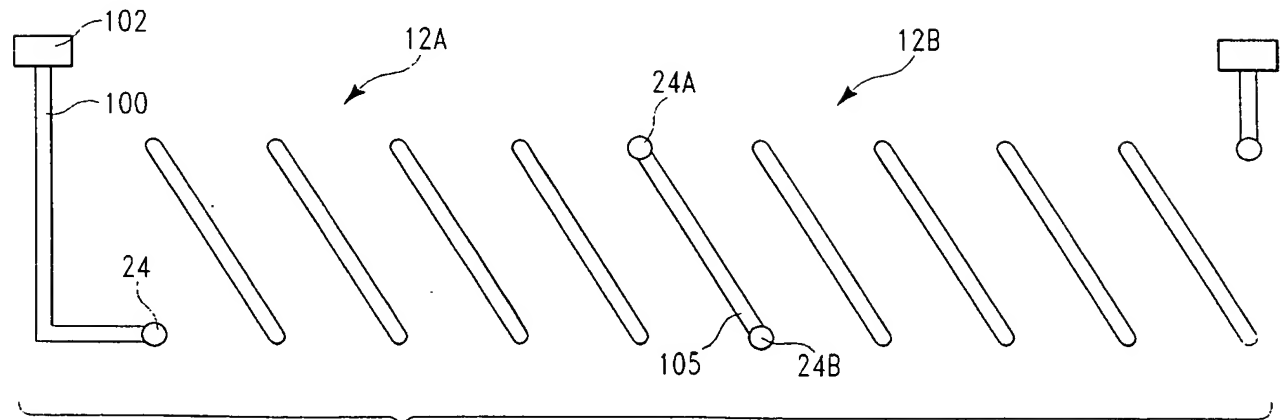


FIG. 12C

"00016000" DECODED

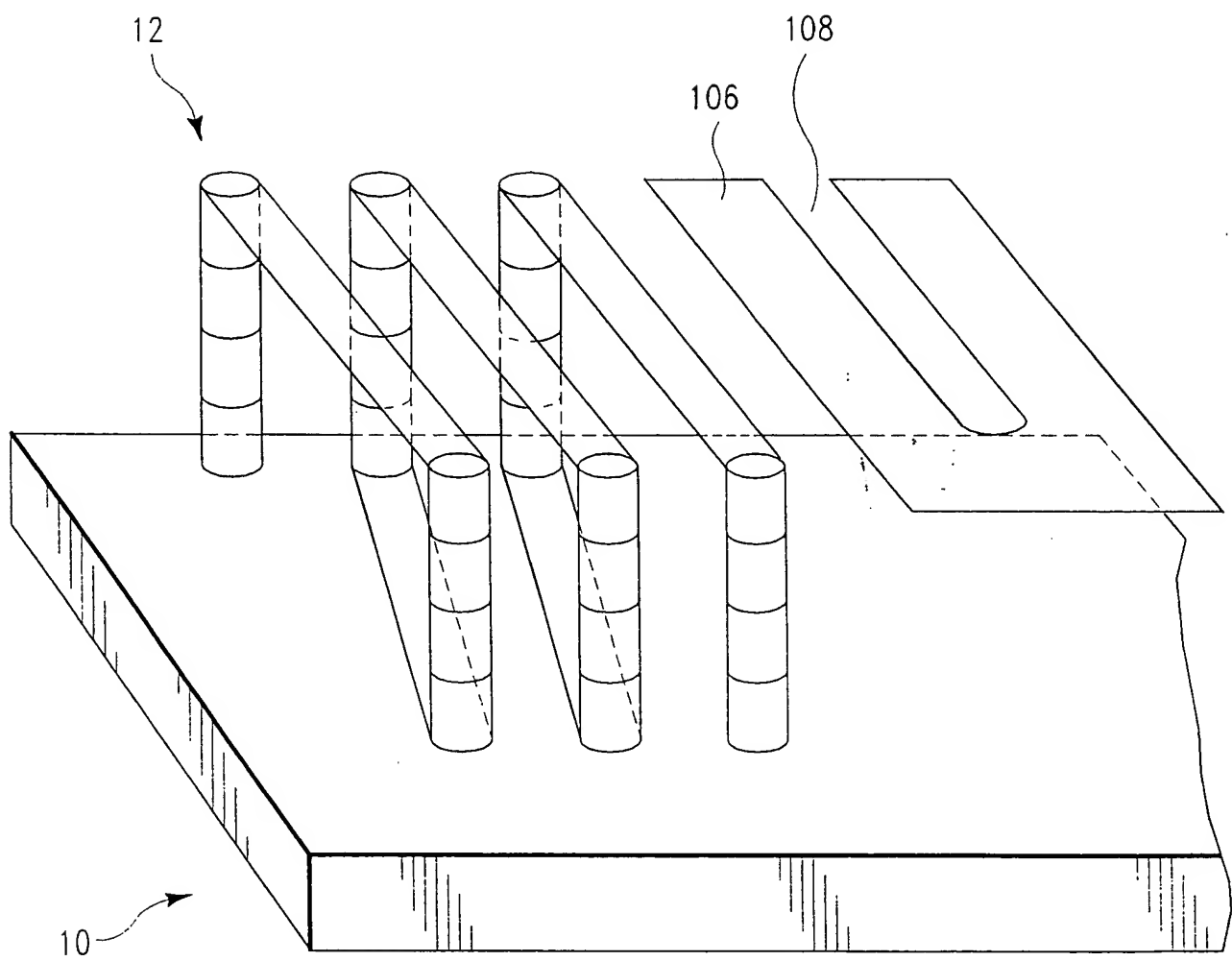


FIG. 13

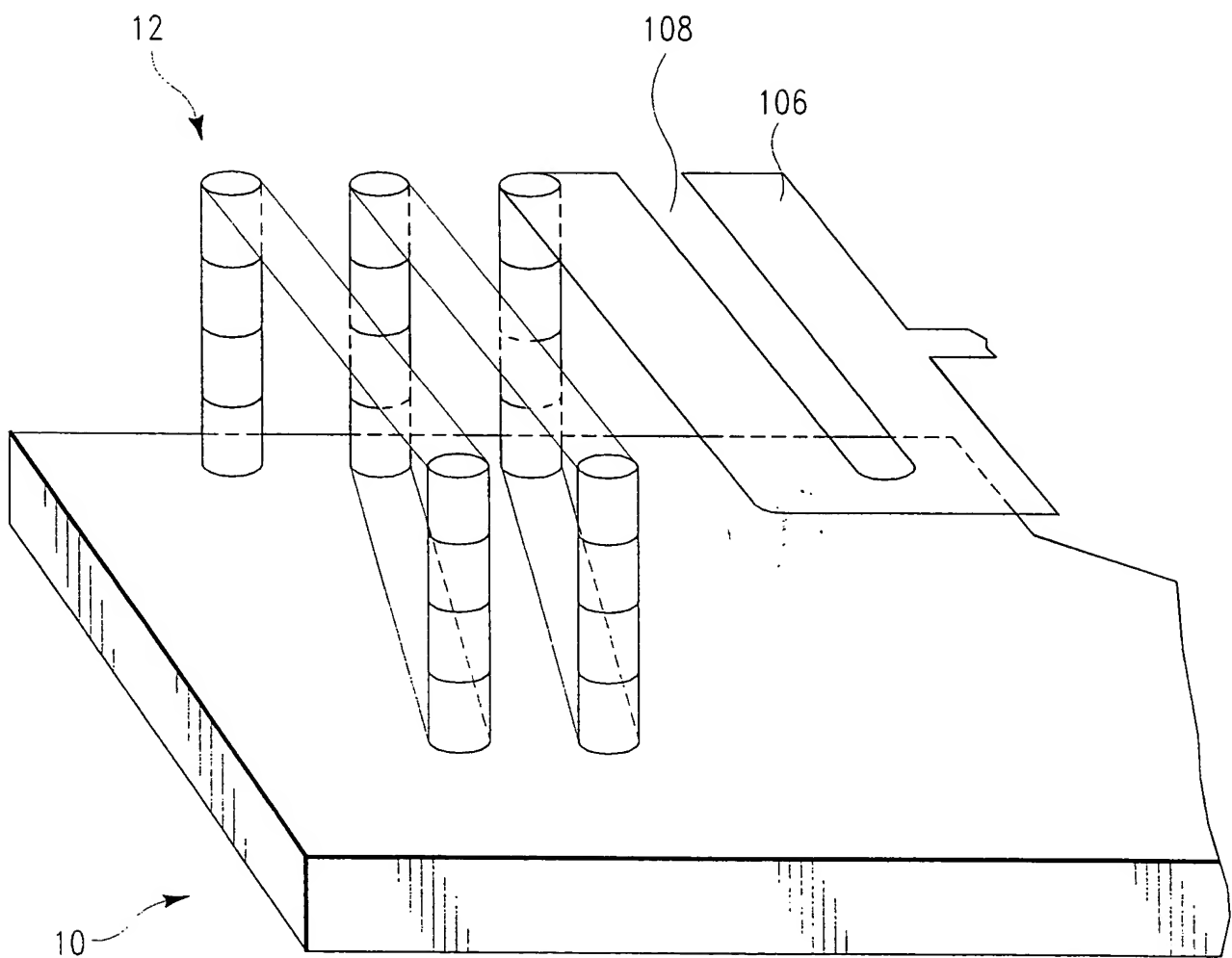


FIG. 14

100-6000 - 0521.0

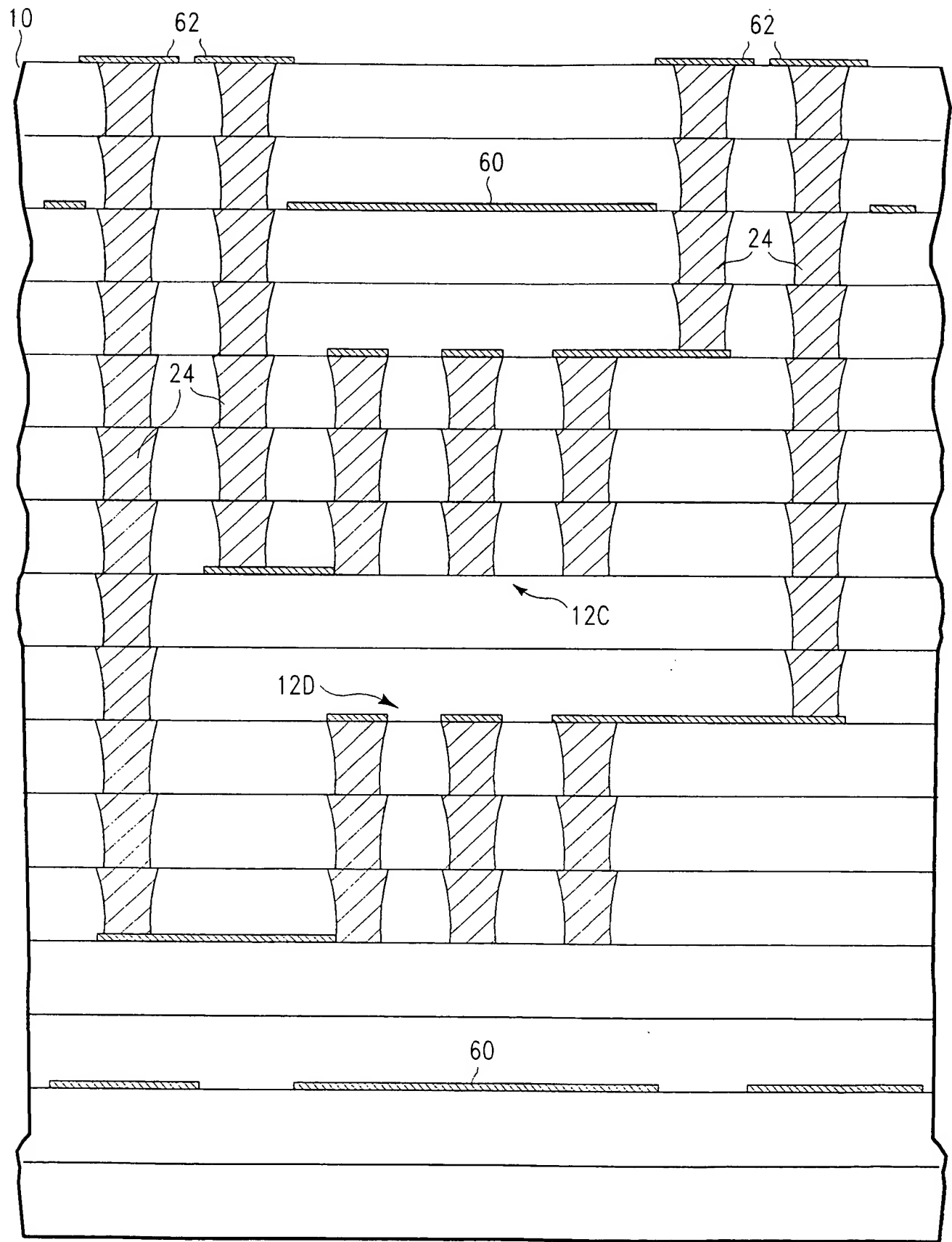


FIG. 15